

α -氯代羧酸对某些金属的萃取^①

成本诚 洪 涌

(中南工业大学)

摘要

报导了中长碳链 α -氯代直链脂肪酸、C₈的 α -氯代支链脂肪酸和 α -氯代环烷酸对某些金属离子的萃取性能。对萃取过程中 α -氯代羧酸的结构效应进行了讨论，并且探讨了 pH_{0.5}值与这些金属阳离子特性之间的关系。

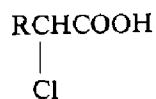
关键词： α -氯代羧酸 萃取 稀土 钴 镍

羧酸萃取剂是一类有机弱酸，在萃取冶金上应用不如中等酸性的磷型萃取剂广泛。从分子设计的观点来看，在羧酸的 α -碳原子上引入电负性强的氯、溴等元素，由于吸电子的诱导效应可使其酸性增强。由于紧靠萃取活性基团的邻位引入取代基，同时也增加了空间效应。因此， α -卤代羧酸不仅可望提高对金属的萃取能力，也有可能提高其分离能力。国外报导了 α -溴己酸^[1]和 α -溴癸酸^[2]对稀土、钴、镍和铜的萃取。氯比溴便宜得多，但未见 α -氯代羧酸对金属萃取的报导，这可能与 α -氯代羧酸的合成难度较大有关。

我们用一种区位专一性或高选择性的反应，合成了一系列 α -氯代羧酸^[3, 4]，即 C₆、C₈、C₁₀ 和 C₁₂ 的直链 α -氯代脂肪酸，C₈ 的支链 α -氯代脂肪酸以及 α -氯代环烷酸，分别用它们的庚烷-醇或煤油-醇溶液对某些稀土、钴、镍和铁进行萃取，系统地研究了这 6 种 α -氯代羧酸的结构与某些金属离子萃取性能的关系。研究结果表明： α -氯代羧酸对上述金属离子的萃取，与未取代的羧酸相比，向酸性区移动了约 0.8~2 个 pH 单位，增强了萃取能力，也提高了对某些金属离子的选择性。同时发现在本文的萃取条件下，中长碳链 α -氯代直链脂肪酸对所研究稀土的萃取顺序与具有支链的 α -氯代羧酸的萃取顺序不同。本文所用 6 种 α -

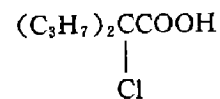
氯代羧酸的结构分别如下。

四种 α -氯代直链脂肪酸：

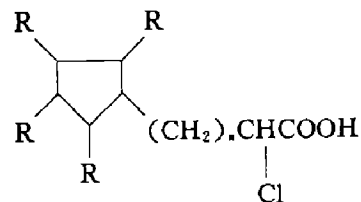


R = C₄H₉, C₆H₁₃, C₈H₁₇, C₁₀H₂₁

其它两种 α -氯代羧酸：



α -氯- α -丙基戊酸



α -氯代环烷酸

1 实验方法

实验所用的 α -氯代羧酸均由作者合成，它们的某些理化常数参见文献[3]~[6]。

萃取试验条件：温度 25±0.5 °C (或±1 °C)。有机相组成：(a) 0.150 mol/L HA-15%庚醇(V/V)-庚烷(HA: C₆、C₈、C₁₀、C₁₂直链、C₈支链脂肪酸及相应的 α -氯代羧酸)；(b) 0.160 mol/L HA-15%月桂醇(V/V)-碘化煤油或二甲苯(HA: C₁₂直链脂肪酸、环烷酸及相应的 α -氯代羧酸)。

代羧酸)。水相组成：0.170 mol/L 的金属盐酸溶液，pH 在 2~3 之间。

平衡时间： RE^{3+} 和 Fe^{3+} 为 15 min、 Co^{2+} 、 Ni^{2+} 为 30 min。萃取相比 O/A 为 1:1。

主要仪器有 ZD-2 型调速多用振荡器，pHS-3 型酸度计(精确度 0.01pH)、恒温箱等。

2 结果及讨论

2.1 乳化现象的消除

己酸、辛酸在给定条件下仅对 Y^{3+} 的萃取产生乳化现象；癸酸、月桂酸对钐、钕、镧、钇四种稀土离子萃取时，有机相都出现乳化，界面有白色沉淀物，将乳化的有机相长时间放置可得到清澄有机相。以 Nd^{3+} 为例，经分析，其萃取率 $E \leq 10\%$ (癸酸)和 $E \leq 5\%$ (月桂酸)。看来是它们的稀土配合物在有机相的溶解度太小，不宜作萃取剂。但在其 α 位引入氯原子后，所得的上述各种 α -氯代羧酸都不产生乳化现象，除 α -氯代环烷酸萃取分相时间略长外，其余的 α -氯代羧酸萃取金属离子分层迅速，两相清晰，界面清楚，这对萃取冶金有实际意义。

2.2 α -氯代羧酸的结构对金属萃取的影响

对于酸性萃取剂，萃取金属的 $pH_{0.5}$ 越小，萃取能力就越强，被萃两种金属离子的 $pH_{0.5}$

相差越大，则表明二者越易分离。 α -氯代羧酸萃取某些金属的 $pH_{0.5}$ 列于表 1 和表 2 中，为了便于比较，同时列出某些未氯代羧酸的 $pH_{0.5}$ 。图 1、图 2 和图 3 给出了一些有代表性的 α -氯代羧酸对某些金属离子的萃取曲线。

表 1 中长碳链 α -氯代直链脂肪酸萃取
金属离子的 $pH_{0.5}$

金属离子	己酸	α -氯己酸	α -氯辛酸	癸酸	α -氯癸酸	α -氯月桂酸
Y^{3+}		4.18	4.02		3.98	3.93
La^{3+}	5.06	3.98	3.92		3.86	3.77
Nd^{3+}	4.85	3.85	3.78	4.80	3.71	3.67
Sm^{3+}	4.70	3.83	3.72	4.73	3.67	3.63
Fe^{3+}	2.26	1.50				

表 2 C₈ 的 α -氯代支链脂肪酸及环烷酸的萃取
金属离子的 $pH_{0.5}$

金属离子	α -丙基戊酸	α -氯- α -丙基戊酸	环烷酸	α -氯环烷酸
Y^{3+}	5.25	4.05	4.95	4.10
La^{3+}	5.46	4.07	5.06	4.26
Nd^{3+}	5.20	3.93	4.86	4.01
Sm^{3+}	5.06	3.76	4.83	3.91
Co^{2+}	6.87	4.99		
Ni^{2+}	6.70	4.51		

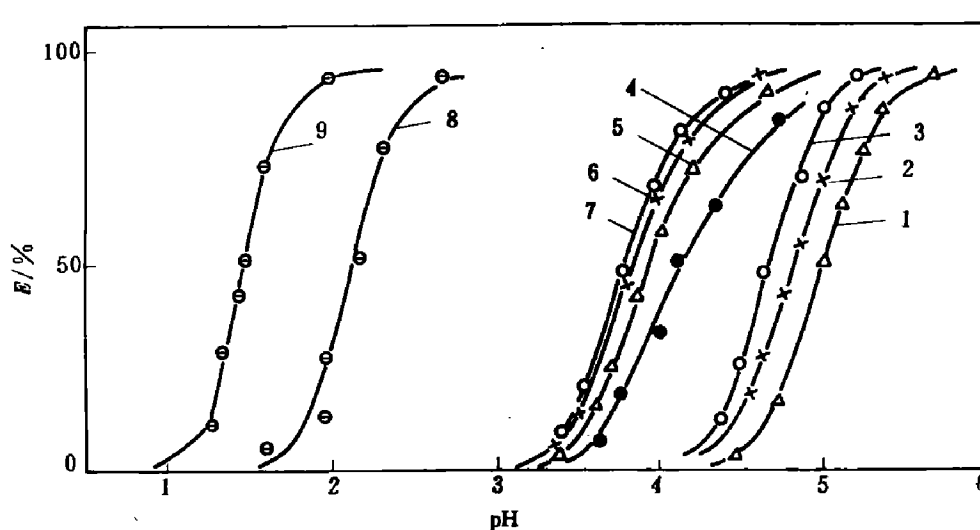


图 1 己酸和 α -己酸对金属离子萃取的 E -pH 图

(1)、(2)、(3)、(8)用己酸萃取；(4)、(5)、(6)、(7)、(9)用 α -氯己酸萃取； \ominus 铁、○钐、×钕、△镧、●钇

从以上图表以及我们所作的大量数据，可以得到以下几点看法：

(1) 羧酸经 α 位氯代后， $pH_{0.5}$ 向酸性区移动 $0.8\sim2$ pH 单位，从萃取曲线看出在同一 pH 下， α -氯代酸萃取率高得多。就图 1 来说，pH 为 4.5 时， α -氯己酸对稀土的萃取率(E)已经很高，而已酸对稀土的萃取率不到 10%。这是由于在羧酸的 α 位引入氯原子后，其酸性增强 (α -氯代羧酸比相应羧酸的 pK_a 约小 $1.8\sim2.0$)，因而萃取能力增强。

(2) 直链的脂肪酸及相应的 α -氯代脂肪酸对稀土的萃取顺序是： $Y^{3+} < La^{3+} < Nd^{3+} < Sm^{3+}$ ，而支链的脂肪酸和环烷酸及相应的 α -氯代羧酸的萃取序列是： $La^{3+} < Y^{3+} < Nd^{3+} < Sm^{3+}$ 。 Y^{3+} 在萃取稀土中这种位置变化，目前尚未有很好的理论解释，但在萃取冶金工业中，利用 Y^{3+} 的这种特性可从稀土中制备高纯钇。

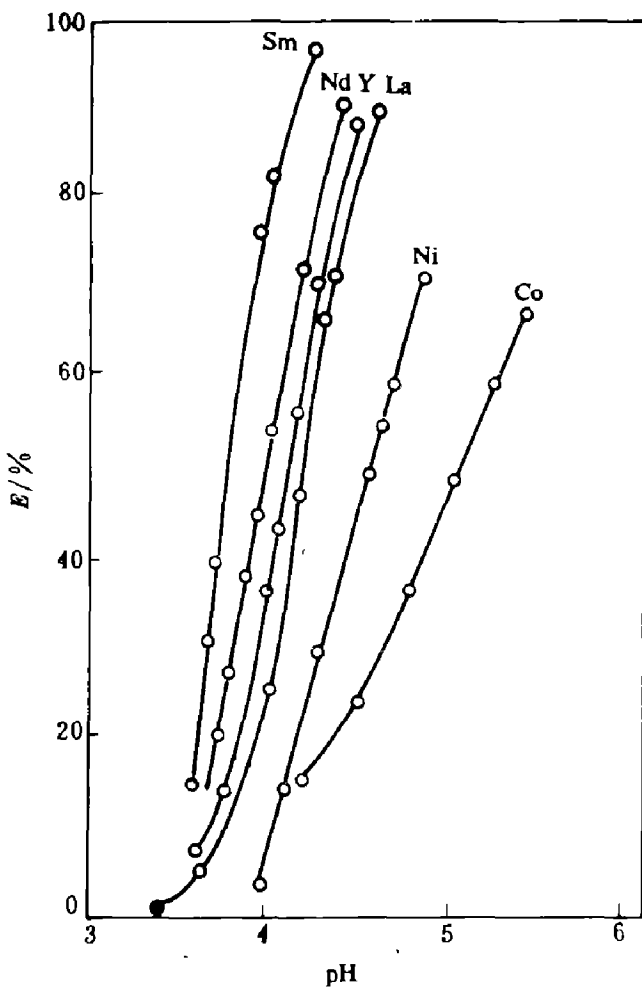


图 2 α -氯- α -丙基戊酸对金属离子的 E -pH 图

(3) α 位同时具有氯和烷基结构者，对 Co^{2+} 、 Ni^{2+} 萃取分离能力增强。在第一过渡金属中，钴是唯一能形成四面体络合物的离子，镍为八面体结构，因此钴受空间位阻效应影响更大。 α -氯- α -丙基戊酸对 Co^{2+} 、 Ni^{2+} 的 $\Delta pH_{0.5}$ 为 0.48，因而有很好的分离效果。 α -氯辛酸的 $\Delta pH_{0.5}$ 为 0.06， α -丙基戊酸的 $\Delta pH_{0.5}$ 为 0.17，因而钴镍分离效果较差。由此看出，要将廉价的羧酸用作冶金萃取剂，并使之同时有高的萃取能力和分离能力，最好应在羧酸的 α 位同时引入电负性强的元素氯和一个烷基。

(4) α -氯代直链脂肪酸萃取分离性能与所含碳原子数 n_c 的关系表示于图 4 中。随着 n_c 的增加，对稀土的萃取能力亦逐渐增加，这与碳原子数增加，萃合物的油溶性增大有关；但萃取顺序无变化，均为 $Y^{3+} < La^{3+} < Nd^{3+} < Sm^{3+}$ 。 n_c 增加， La^{3+} 与 Y^{3+} 的分离系数也有增加，在本实验条件下无论萃取能力和分离能力

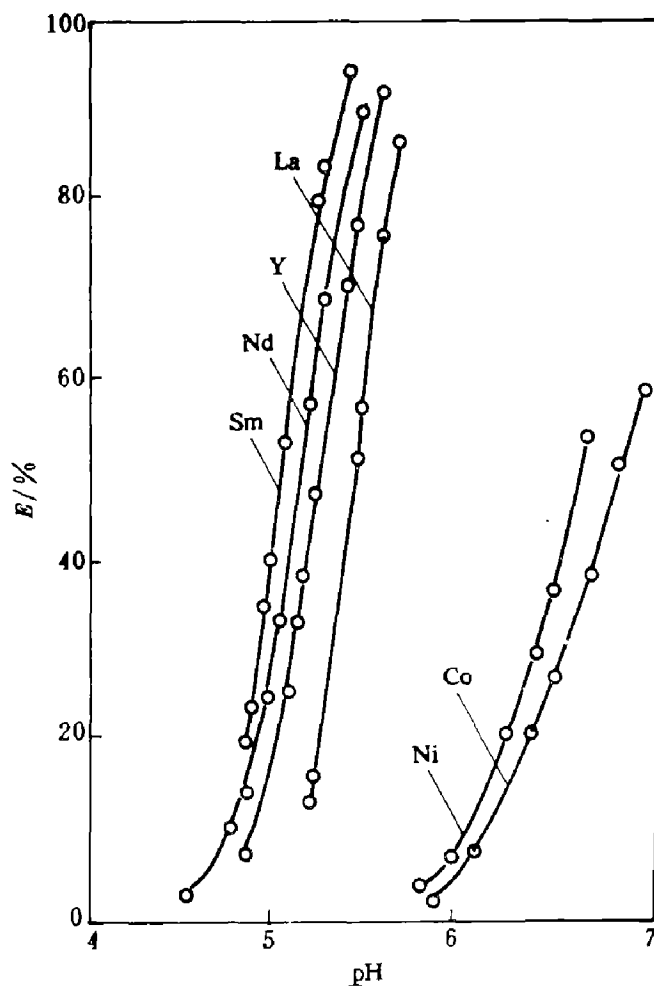


图 3 α -丙基戊酸对金属离子的 E -pH 图

均以 α -氯代月桂酸为最好, $pH > 4$, 其分离系数 $\beta_{LaY} > 3$ 。从图4还可看出, 随着 pH 值增大, β_{LaY} 也是增大的。

3.3 影响萃取的其它因素

(1) 某些金属离子的 $pH_{0.5}$ 与阳离子半径的关系。从图5可看出, 金属离子的 $pH_{0.5}$ 与其阳离子半径成直线关系。随着金属离子半径的减少, 其与羧酸类萃取剂的配位能力增加。

(2) 有机相羧酸浓度与 $pH_{0.5}$ 的关系。从图6可看出, 随着萃取剂浓度增加, $pH_{0.5}$ 变小, 说明随萃取剂浓度的增加, 萃取金属能力增强。且 α -氯己酸萃取能力增强趋势比己酸更大。

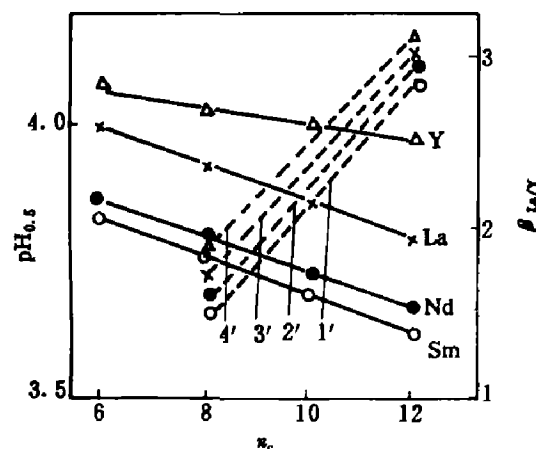


图4 α -氯代直链脂肪酸分子中的
碳原子数 n_c 与 $pH_{0.5}$ 及 β_{LaY} 的关系
1' — $pH_{0.35}$; 2' — $pH_{1.80}$; 3' — $pH_{4.20}$; 4' — $pH_{4.2}$

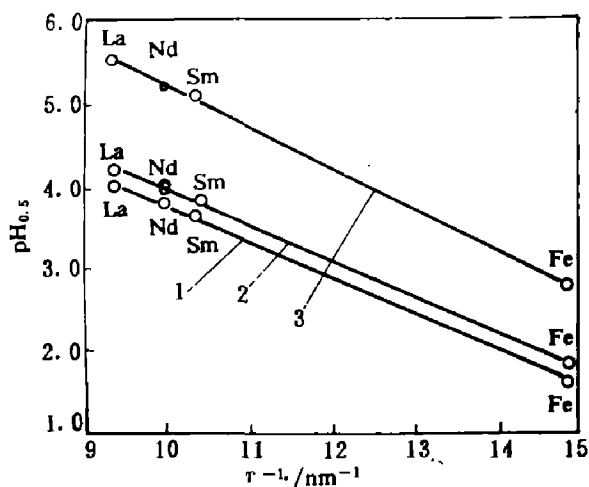


图5 羧酸萃取某些金属的 $pH_{0.5}$
与其三价阳离子半径倒数 r^{-1} 的关系
1— α -氯辛酸；2— α -氯-\mathbf{\alpha}-丙基戊酸；3— α -丙基戊酸

(3) α -氯代羧酸萃取金属的能力还与金属的配位能力有关。氯乙酸稀土配合物的稳定常数 $\lg \beta_1$ 分别是 Sm^{3+} : 1.32, Nd^{3+} : 1.31, La^{3+} : 1.12, Y^{3+} : 1.06。本文中直链脂肪酸及相应的 α -氯代羧酸萃取顺序与氯乙酸稀土配合物稳定常数顺序一致, 而有支链存在的异丁酸, 配合物稳定常数有如下顺序: $\beta_{La} < \beta_Y < \beta_{Nd} < \beta_{Sm}$ 。

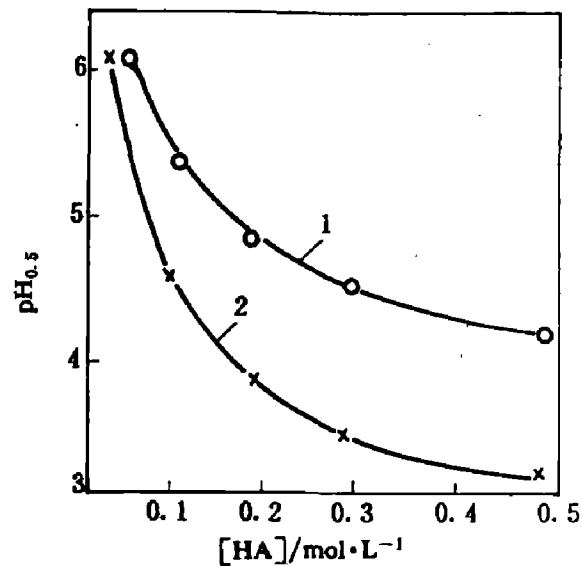


图6 $pH_{0.5}$ 与萃取剂浓度 $[HA]$ 的关系
1—己酸, 2— α -氯己酸
水相: 0.02 mol/L $NaCl$, $pH = 2.0$

有支链烷基的 C_8 酸、 α -氯代 C_8 酸及环烷酸, 萃取顺序为 $La^{3+} < Y^{3+} < Nd^{3+} < Sm^{3+}$, 二者也是一致的。

(4) 不同的稀释剂对萃取有不同的影响。本文考察了 α -氯代月桂酸在不同的稀释剂二甲苯、煤油中萃取稀土 La^{3+} 、 Nd^{3+} 、 Sm^{3+} 、 Y^{3+} 的性能变化。结果见表3。

表3 α -氯代月桂酸在不同稀释剂中的 $pH_{0.5}$

稀释剂	Sm^{3+}	Nd^{3+}	La^{3+}	Y^{3+}
煤油	3.62	3.67	3.77	3.92
二甲苯	3.27	3.40	3.59	3.83
$\Delta pH_{0.5}$	0.35	0.27	0.21	0.09

从表3知, 二甲苯为稀释剂时, α -氯代月桂酸的萃取能力增强($pH_{0.5}$ 变小), 这是由于

二甲苯极性大,有利于萃合物溶解,因而萃取能力增强。

4 结 论

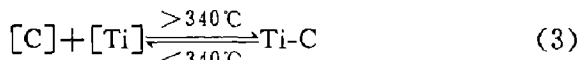
(1)与相应的羧酸相比, α -氯代羧酸萃取金属能力增强,其 pH_{0.5}向酸性区移动 0.8~2 pH 单位,并能避免萃取金属过程中的乳化现象;

(2)对直链的 α -氯代脂肪酸而言,随着碳原子数的增加,萃取能力也随之增加,分离系数 $\beta_{La/Y}$ 增大,且以 α -氯代月桂酸性能最好;

(3)直链的 α -氯代脂肪酸及相应的脂肪酸萃取稀土顺序为: $Y^{3+} < La^{3+} < Nd^{3+} < Sm^{3+}$ 。

(上接37页)

程可重复),因而 Ti-C 间的成键过程是可逆的:



这一反应的化学势增量为 $\Delta\mu$,这时表面碳浓度可用下式描述:

$$\ln[C] = -\frac{\Delta S}{k} + \frac{\Delta H}{kT} + \left(\frac{\Delta\mu}{kT}\right)^2 \quad (4)$$

式中 第一项为表面碳的有序度的影响;第二项为碳的运动动能的影响;第三项是碳钛交互作用的影响。按 AES 结果

$$\begin{aligned} \ln[C] = & 4.7 - 2.282.8 T^{-1} \\ & + 1.223.548 T^{-2} \end{aligned} \quad (5)$$

在第一阶段,只有碳的运动,碳钛间的交互作用可忽略不计, $\Delta\mu \approx 0$ 。这样(4)式就成为(1)式。所以整个过程可用(4)式来描述。

具有支链的 C₈酸和环烷酸及相应的 α -氯代酸萃取稀土的顺序为: $La^{3+} < Y^{3+} < Nd^{3+} < Sm^{3+}$;

(4)具有较大的空间效应的 α -氯- α -丙基戊酸对 Co^{2+} 、 Ni^{2+} 有良好的分离能力。由于 Fe^{3+} 离子半径很小,在低 pH 下有高的萃取率,故可在较酸的体系中分离出杂质铁。

参考文献

- 1 Гаврилов З.Ф., Макаринук Т.Л., Пятницкий И.В. Укр. Фун. Ж. 1982, (8): 840.
- 2 Preston J.S. Hydrometallurgy, 1985, (14): 171.
- 3 成本诚, 欧阳晖, 洪涌. 化学通报, 1991, (4): 17.
- 4 成本诚, 夏鹏飞, 彭卫红. 应用化学, 1992, (2): 83.
- 5 洪涌, 成本诚. 稀有金属与硬质合金, 1990, (2): 1.
- 6 彭卫红, 成本诚. 中南矿冶学院学报, 1990, 21(3): 330.

4 结论

(1)薄膜表面由钛、碳、氧等组成,薄膜有一稳定区间,薄膜与基体间有一混合过渡层;

(2)升温过程中出现表面碳偏析,在 $T < 340^\circ C$, 偏析碳的来源是膜内的游离碳,这是第一阶段。第二阶段, $T > 340^\circ C$, 由于表面及膜内的碳钛交互作用,使表面碳含量由于温度升高反而降低。这种碳钛交互作用有弱键形成;

(3)升温过程中的表面碳的行为是可逆的,在缓慢加热和冷却后可重复再现。

参考文献

- 1 Yamashina T, Aida H, Kawamoto O. Thin Solid Film, 1983 (108): 395.
- 2 王玉琦. 硕士论文, 中国科学院固体物理研究所, 1985.
- 3 Blakely J.M. Surface Science, 1980, (91): 199.